УДК: 544.478 + 665.658.2

ИССЛЕДОВАНИЕ КАТАЛИТИЧЕСКИХ СВОЙСТВ НЕНАНЕСЕННЫХ КАТАЛИЗАТОРОВ НА ОСНОВЕ ФОСФИДОВ ПЕРЕХОДНЫХ МЕТАЛЛОВ В ПРОЦЕССЕ ГИДРООБЛАГОРАЖИВАНИЯ ПРОДУКТОВ ПИРОЛИЗА ХЛОРСОДЕРЖАЩИХ ПОЛИМЕРНЫХ ОТХОДОВ

© 2025 г. Э. Г. Джабаров, Н. Н. Петрухина, Е. М. Захарян

Институт нефтехимического синтеза им. А.В. Топчиева РАН, Москва, 11999, Россия E-mail: dzhabarov@ips.ac.ru

Получено 13.03.2025 г. После доработки 29.04.2025 г. Принято в печать 06.05.2025 г.

В присутствии хлорсодержащего субстрата, 1,4-дихлорбензола, синтезированы *in situ* из маслорастворимых прекурсоров и красного фосфора фосфиды никеля, кобальта, молибдена, вольфрама и железа. Их каталитическая активность исследована в конкурирующих процессах гидрогенолиза модельного сырья, содержащего хлорпроизводное (1,4-дихлорбензол) и гетероатомные соединения (бензотиофен, гваякол, терефталевая кислота, хинолин). Исследование фазового состава катализаторов методами рентгеновской фотоэлектронной спектроскопии (РФЭС) и рентгенофазового анализа (РФА) подтверждает образование фаз фосфидов, хлоридов и фосфатов металлов. Активность фосфидов в гидродехлорировании 1,4-дихлорбензола возрастает в ряду: Mo < Fe < W < Co < Ni, в процессе совместного гидрогехлорирования 1,4-дихлорбензола и гидрообессеривания бензотиофена: $Co < W < Fe \approx Ni < Mo$. При гидродехлорировании 1,4-дихлорбензола в смеси с гваяколом активность всех фосфидов, за исключением фосфида железа, снижается в сравнении с гидродехлорированием 1,4-дихлорбензола в монокомпонентной системе. Фосфид железа может рассматриваться как перспективный катализатор защитного слоя при гидрооблагораживании продуктов пиролиза полимерных отходов, а фосфид никеля — как катализатор гидрооблагораживания продуктов пиролиза полимерных отходов, а составе смесей полимерных отходов.

Ключевые слова: фосфидный катализатор; фосфид никеля; фосфид кобальта; гидродехлорирование; гидродеоксигенация; гидрообессеривание; гидродеазотирование

DOI: 10.56304/S241421582501006X; EDN: UZKYKH

Поливинилхлорид (ПВХ), хлоропрен и другие хлорсодержащие полимеры относятся к наиболее трудно перерабатываемым полимерным отходам [1, 2] ввиду высокого содержания хлора, образования токсичных канцерогенных продуктов и процесса коррозии оборудования вследствие выделения НС1 при их термической переработке, а также низкого соотношения Н/С в продуктах. К хлорсодержащим полимерным отходам относятся и полимеры, в состав которых входят галогенсодержащие антипирены, представленные хлорированными парафинами, пентахлорциклогексаном, пентабромциклогексаном, гексабромциклододеканом, декабромдифениловым эфиром и др. [3, 4]. Указанные антипирены и продукты их конверсии являются высокотоксичными канцерогенными соединениями.

Несмотря на то, что в настоящее время галогенсодержащие замедлители горения используются редко, полимеры, произведенные ранее и складируемые сейчас на полигонах или поступающие на переработку, содержат эти соединения.

Пиролиз и гидрокрекинг (гидроконверсия) — широко изученные технологии переработки полимерных отходов; по сравнению со сжиганием они более экологически привлекательны и позволяют получить жидкий продукт, который в дальнейшем может быть использован для получения мономеров, ароматических углеводородов, растворителей, топлив [5–7]. При пиролизе и гидрокрекинге ПВХ образуется жидкий продукт, содержание хлора в котором может достигать нескольких процентов в случае пиролиза чистого ПВХ [8], а концентрация

хлорсодержащих органических соединений достигает 20 мас.%. Эти соединения представлены хлоралканами, хлоролефинами (2-хлор-2-метилпропан, 2-хлор-2-метилпентан) [9], хлорбензолами и алкилзамещенными хлорбензолами, концентрация которых высока в случае пиролиза смесей ПВХ и полистирола (ПС) [10]. Наличие пластификаторов (дибутилфталат, диизобутилфталат, бис-(2-этилгексил)фталат, бензилбутилфталат [2]) в изделиях из ПВХ приводит к тому, что продукты пиролиза содержат терефталевую кислоту, фталаты и другие кислородорганические соединения. Аналогично, при содержании полиэтилентерефталата (ПЭТФ) в смеси полимерных отходов, поступающей на пиролиз, в жидком продукте содержатся хлорсодержащие эфиры бензойных кислот, хлоралкилэфиры терефталевой кислоты [11, 12]. При гидрокрекинге полимерных отходов часто реализуется предварительное растворение полимеров в нефтяных фракциях, угольных дистиллятах [7, 13], вследствие чего получаемый продукт содержит соединения серы и азота.

Очевидно, жидкий продукт пиролиза или гидрокрекинга полимерных отходов нуждается в гидрооблагораживании, при котором будут протекать реакции гидродеоксигенации, гидрообессеривания, гидродеазотирования, гидрирования и гидродехлорирования. Последнее представляет наибольшую сложность ввиду дезактивации катализаторов и отсутствия полномасштабного промышленного опыта его проведения в отличие от широко известных процессов гидрообессеривания нефтяных фракций и гидродеоксигенации растительного сырья с получением биотоплив. В литературе имеются данные о гидродехлорировании хлорсодержащих пестицидов [14], хлоралканов (хлороформ, дихлорметан и т.д. [15, 16]), хлорбензолов [17–19] в присутствии нанесенных катализаторов на основе Pd, Pt, Ru [16, 17, 19] и Ni [18], которые подвергаются дезактивации вследствие образования хлоридов металлов. При этом «простое» сырье, содержащее только хлорорганические соединения в с достаточно низким содержанием атомов хлора, можно успешно подвергать гидродехлорированию на металлических катализаторах, тогда как продукты пиролиза и гидрокрекинга смесей полимерных отходов, являющиеся «сложным» сырьем ввиду присутствия помимо хлорорганических соединений и азот-, серо- и кислородсодержащие компоненты, требуют более устойчивого и дешевого катализатора.

Для процессов гидродехлорирования полихлорированных бифенилов и полихлорбензолов [20, 21] в качестве перспективных рассматриваются никель- и кобальтмолибденовые катализаторы гидроочистки,

являющиеся более стабильными и доступными, чем благородные металлы. Однако в последнее время в качестве катализаторов гидродехлорирования хлорароматических углеводородов и хлоролефинов [22, 23], а также гидродеоксигенации и гидрообессеривании активно исследуют фосфиды никеля, кобальта и молибдена. В исследованиях [22-25] сообщается о высокой стабильности фосфидов в сравнении с металлическим никелем. Кроме того, фосфиды сохраняют ключевые достоинства сульфидных катализаторов, включая высокую каталитическую активность, устойчивость к отравлению HCl, а также сравнительно низкую стоимость в отличие от катализаторов на основе металлов платиновой группы. Вместе с тем, возникает вопрос о возможности использования фосфидных катализаторов в условиях одновременного протекания реакций гидродехлорирования, гидрообессеривания и гидродеазотирования. Сообщается [26–28], что присутствие Н₂S в сырье или в водороде в процессе восстановления катализатора не только не снижает активность катализаторов, но и способствует повышению конверсии в реакции гидродехлорирования. Отмечается [28], что добавление дибензотиофена в модельную смесь, содержащую хинолин, способствует повышению конверсии хинолина в присутствии катализатора Ni₂P/MCM-41 благодаря образованию смешанной каталитически активной фосфосульфидной фазы Ni-P-S.

При исследовании протекания параллельных реакций гидрообессеривания, гидродеазотирования, гидрирования и гидродеоксигенации в присутствии фосфидов никеля на различных носителях [28–30] было отмечено ингибирование реакций гидрирования [28, 29] и гидродеоксигенации [28] в присутствии азотистых оснований. Катализаторы на основе фосфида никеля по активности, нормированной относительно числа активных центров, определенных методом хемосорбции СО для фосфидов и низкотемпературной хемосорбции О2 для сульфидов, в реакциях гидрообессеривания и гидродеазотирования не уступают с сульфидному катализатору CoMo/Al₂O₃, но значительно уступают ему в реакции гидрирования [30]. Экспериментальные исследования гидрооблагораживания реального сырья — нефтяной фракции (содержание атомов серы 450 ррт, атомов азота – 8 ррт, ароматических углеводородов — 27 мас.%) — в присутствии катализатора Ni₂P/SiO₂ в показали [30], что степень обессеривания сырья достигает 85%, сравнимая с этим показателем в присутствии CoMo/Al₂O₃. Фосфидный катализатор обеспечивает более высокую конверсию пространственно-затрудненных гетероциклических соединений — метилдибензотиофена и диметилдибензотиофена, чем сульфидный, а также демонстрирует отличную стабильность активности.

Представляет интерес исследование фосфидных катализаторов в процессах гидрооблагораживания смесей, включающих Cl-, S-, N- и О-содержащие соединения и ароматические углеводороды, в целях установления принципиальной возможности применения фосфидов в катализе процессов гидрооблагораживания продуктов пиролиза полимерных отходов. Особый интерес представляют ненанесенные фосфиды, поскольку в присутствии HCl в реакционной среде возможно разрушение носителя с изменением его морфологических характеристик, а при одновременном наличии в сырье соединений хлора и азота отмечается закупоривание пор хлористыми солями азотистых оснований [31, 32]. Также представляется актуальным определение перспектив использования доступных фосфидов железа в гидродехлорировании, в частности, как катализаторов защитного слоя перед подачей сырья в реактор с другим, более активным и дорогостоящим катализатором.

В настоящей работе синтезированы ненанесенные фосфиды Ni, Co, Mo, W, Fe *in situ* в реакционной среде и исследована их активность в условиях гидрооблагораживания двухкомпонентных смесей, одним из компонентов которых является 1,4-дихлорбензол, а вторым — бензотиофен, хинолин, гваякол, терефталевая кислота.

ЭКСПЕРИМЕНТАЛЬНАЯ ЧАСТЬ

В качестве прекурсоров наногетерогенных катализаторов использовали: 2-этилгексаноат никеля (≥78%, кат. номер 338184, Sigma-Aldrich); W(CO)₆ (ОАО «Редкинский опытный завод»); 2-этилгексаноат железа(III); Мо(CO)₆ (OAO «Редкинский опытный завод»); 2-этилгексаноат кобальта (≥65%, кат. номер 338184, Sigma-Aldrich). Субстратами служили 1,4-дихлорбензол (≥99%, кат. номер 106467, Sigma-Aldrich), нафталин (99%, Sigma-Aldrich cat. по. 147141), хинолин (≥98%, кат. Номер 241571, Sigma-Aldrich), гваякол (>99%, Acros Organics cat. по. 120190010), бензотиофен (≥98%, кат. номер 357790, Sigma-Aldrich). В качестве растворителя использовали *н*-гексадекан (≥98%, ОАО «Компонент-Реактив»). Однокомпонентная модельная смесь представляла собой 10%-ный раствор субстрата в H-гексадекане, где субстрат — 1,4-дихлорбензол, бензотиофен, хинолин, гваякол, терефталевая кислота, двухкомпонентная модельная смесь — 10%-ный раствор двух субстратов в мольном соотношении 1:1 в н-гексадекане (1,4-дихлорбензол/бензотиофен, 1,4-дихлорбензол/хинолин, 1,4-дихлорбензол/ гваякол, 1,4-дихлорбензол/терефталевая кислота).

Катализаторы синтезировали *in situ* в реакционной среде в реакторе периодического типа при постоянном перемешивании при температуре 340° С, давлении H_2 6 МПа (\geq 98%, Air Liquide) в течение 7 ч, если не указано иное. Агент фосфидирования — красный фосфор, мольное соотношение Me/P = 20/1. Мольное соотношение Me/субстрат соответствует 1/60 в однокомпонентной смеси, 1/30 к каждому субстрату в двухкомпонентной смеси. Условия проведения каталитических экспериментов соответствуют условиям синтеза катализатора, поскольку катализатор синтезировали *in situ* при одновременном протекании реакций гидродехлорирования/гидрообессеривания/гидродеазотирования/гидродеоксигенации.

Для изучения возможности повторного использования катализатор после очередного цикла выгружали и отделяли от жидкой фазы, промывали растворителем, сушили, а затем возвращали в реактор с новой загрузкой растворителя и субстратов.

В ходе параллельного гидрооблагораживания двухкомпонентных смесей возможны следующие пути протекания процессов (схема I).

Продукты анализировали методом газовой хроматографии на хроматографе «Кристаллюкс-4000М» (ООО «НПФ «Мета-хром») с капиллярной колонкой Орtima 1 (30 м \times 0.32 мм \times 0.50 мкм). Расчет степени протекания процессов гидрооблагораживания проводили следующим образом (на примере гидродехлорирования):

Степень ГДХ =
$$\frac{W_0 - (W_1 n_1 + W_2 n_2)}{W_0}$$
, (1)

где W_0 — доля хлора в исходном сырье; W_1 — доля непревращенного субстрата в продуктовой смеси; n_1 — доля хлора в субстрате; W_2 — доля хлорсодержащего продукта; n_2 — доля хлора в продукте.

Структуру и морфологию выделенного после реакции катализатора исследовали методом просвечивающей электронной микроскопии высокого разрешения (ПЭМ) на электронном микроскопе ТЕМ Теспаі Osiris (FEI), оснащенном источником электронов X-FEG на 200 кэВ. Для определения морфологии частиц использовали программу Digital Micrograph (Gatan).

Фазовый состав катализаторов определялся методом порошковой рентгеновской дифракции. Рентгеновские дифрактограммы были получены в диапазоне 5° – 100° 20 на дифрактометре Rigaku Rotaflex RU-200 (Си K_{α} -излучение), оснащенном гониометром Rigaku D/Max-RC (скорость вращения 1° /мин; шаг 0.04°). Качественный фазовый анализ образцов проводили с использованием базы данных порошковых дифракционных картин PDF-2 ICDD.

Гидродехлорирование 1,4-дихлорбензола

$$\begin{array}{c|c} Cl & Cl \\ \hline \\ +H_2 \\ \hline \end{array} \begin{array}{c} +H_2 \\ \hline \end{array} \begin{array}{c} +H_2 \\ \hline \end{array}$$

Гидрообессеривание бензотиофена

$$H_2$$
 H_2
 H_2
 SH

Гидродехлорирование 1-хлорнафталина

Гидродеазотирование хинолина

$$H_2$$
 H_2
 H_2
 H_2
 H_2
 H_2
 H_2
 H_3
 H_4
 H_2
 H_4
 H_5
 H_7
 H_8
 H_8
 H_8
 H_9
 H_9

Гидродеоксигенация гваякола

Гидродеоксигенация терафталевой кислоты

Схема І. Пути протекания процессов параллельного гидрооблагораживания двухкомпонентных смесей.

Исследование методом РФЭС проводили с использованием электронного спектрометра ЕА15 (PREVAC). В качестве основного источника излучения использовали AlK_{α} (hv = 1486.74 эВ, 150 Вт). Во время получения спектров давление в аналитической камере не превышало 5 × 10-9 мбар. Шкала энергии связи (ВЕ) была предварительно откалибрована с использованием положений Ag3d5/2 (368.3 эВ) и Au4f7/2 (84.0 эВ) из серебряной и золотой фольги соответственно. Эффект зарядки, возникающий в процессе фотоэмиссии электронов, учитывали, используя в качестве внутреннего стандарта положение линии C1s ($E_{cB} = 284.8 \text{ эB}$) атомов углерода, входящих в состав поверхностных примесей. Деконволюцию спектров проводили с использованием программного обеспечения CasaXPS с учетом параметров фона, рассчитанных по алгоритму Ширли, с последующей аппроксимацией формы пиков функцией Фойгта при соотношении Гаусс/ Лоренц (80%/20%).

РЕЗУЛЬТАТЫ И ИХ ОБСУЖДЕНИЕ

Катализаторы, синтезированные *in situ* в процессе гидродехлорирования однокомпонентной смеси 1,4-дихлорбензола в H-гексадекане, были охарактеризованы с помощью метода РФА. В случае образцов Со, Мо, W, Fe фаза фосфидов соответствующих металлов не идентифицируется посредством РФА, что можно связать с рентгеноаморфностью образцов. В образце фосфида никеля наблюдается фаза Ni_2P , которая присутствует наряду с фазами хлорида и пирофосфата никеля (рис. 1); фазы $Ni1_2P_5$, Ni_3P обнаружены не были. В качестве примера на рис. 2 приведены ПЭМ-изображения фосфидов никеля и кобальта. Каталитические частицы

агломерируют, средний размер частиц составляет 20–25 нм.

Посредством элементного анализа было определено, что на поверхности катализатора имеет место равномерное распределение Ni, P, O и Cl (39%, 23%, 21%, 4% соответственно). Наличие кислорода на поверхности обусловлено быстрым окислением поверхности катализатора. Также были обнаружены незначительные количества Fe и Cr (4–8 мас.%), что свидетельствует о протекании коррозии автоклава.

Согласно результатам деконволюции спектров РФЭС, поверхность катализаторов представлена фазами Ni^{d+} (фосфид металла), Ni^{2+} (хлорид и фосфат металла) и P^{5+} (фосфат металла) (рис. 3). Фазовому состоянию $Ni^{\delta+}$ в области Ni^{2} /2 соответствует пик в диапазоне 853.1-853.8 эВ, что свидетельствует о наличии Ni_{2} P [34] (рис. 3, a), фазовому состоянию Ni^{2+} — пик 856.7-857.0 эВ, который можно отнести к фосфату и хлориду никеля. Сателлитный пик основного пика Ni^{2+} находится в диапазоне энергии связи 861.7-862.3 эВ. Содержание Ni^{2+} на поверхности катализатора превышает содержание $Ni^{\delta+}$, что может быть связано с окислением никеля.

Фазовому состоянию P^{5+} в областях 2p3/2 и 2p1/2 соответствуют значения энергии связи $134.2{\text -}135.2$ эВ и $135.7{\text -}136.4$ эВ, соответственно (рис. 3, δ). На поверхности катализатора не было установлено пиков $P^{\delta-}$, что можно объяснить быстрым окислением поверхности катализатора на воздухе.

Каталитическая активность фосфидов переходных металлов в реакциях гидрогенолиза. *Гидродехлорирование*. В реакциях гидродехлорирования различных субстратов апробированы фосфиды Ni [22, 24–28], Mo [23] и Co [22, 33], а фосфиды W, и Fe, насколько нам известно, не исследовались

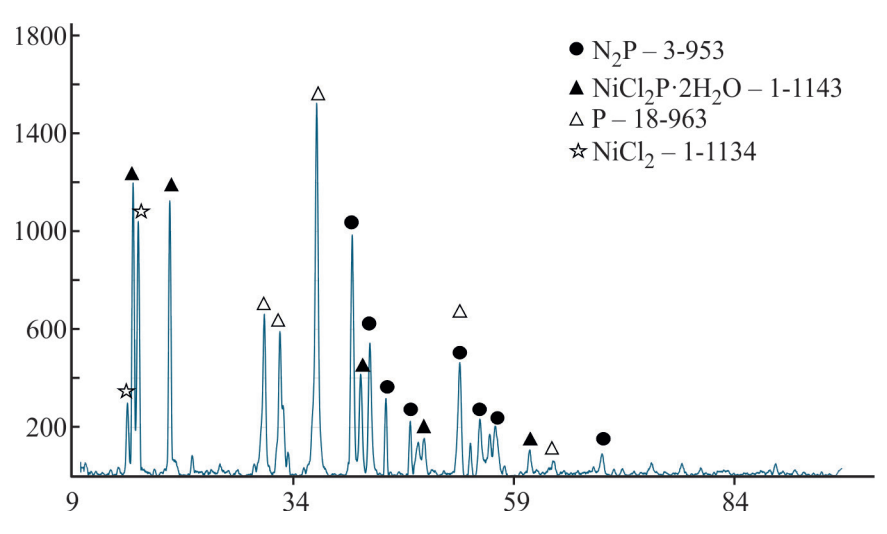


Рис. 1. РФА катализатора Ni₂P, синтезированного *in situ* из 2-этилгексаноата никеля и красного фосфора.

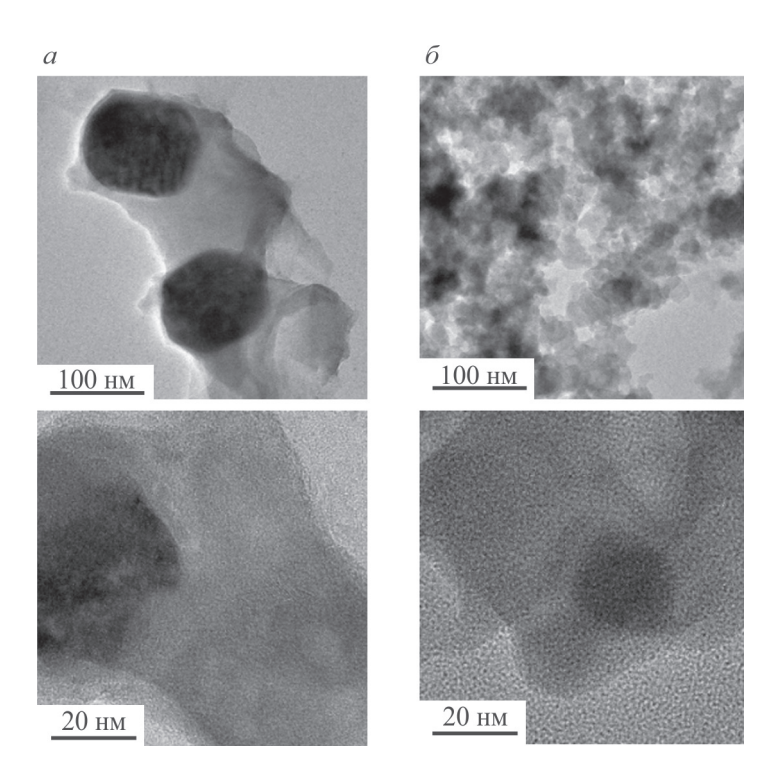


Рис. 2. Микрофотографии фосфидов никеля (a) и кобальта (δ) , полученные методом просвечивающей электронной микроскопии.

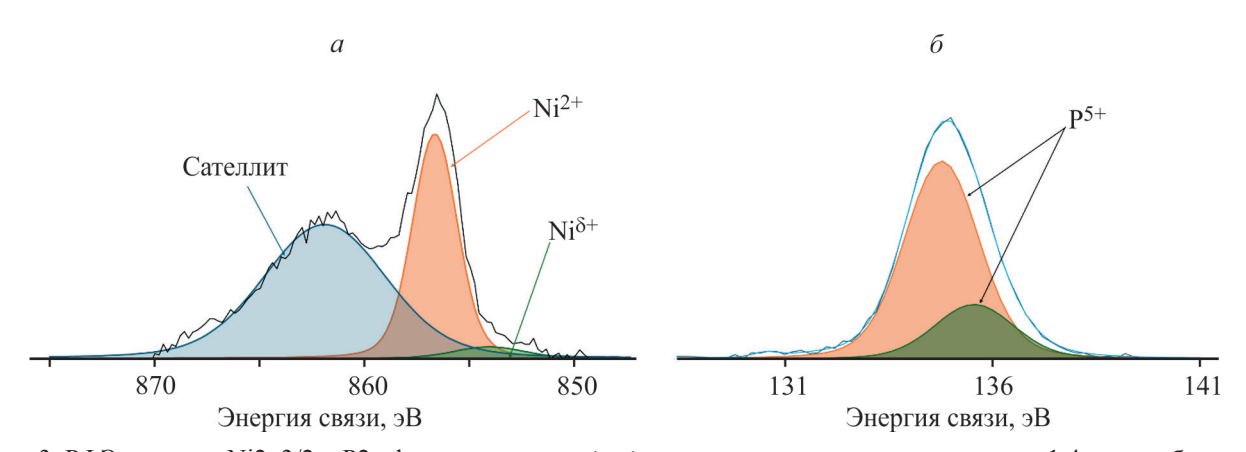


Рис. 3. РФЭ-спектры Ni2p3/2 и P2p фаз, полученных *in situ* в процессе гидродехлорирования 1,4-дихлорбензола. Условия: 340°C, H₂ 6 МПа, 7 ч, 10%-ный раствор 1,4-дихлорбензола в μ -гексадекане, мольное соотношение Me/P = 20/1, мольное соотношение Me/1,4-дихлорбензол = 1/60.

в этих реакциях. Поэтому представляло интерес получение данных об активности и селективности фосфидов переходных металлов в данном процессе. В процессе гидродехлорирования 1,4-дихлорбензола среди всех исследуемых катализаторов, синтезированных *in situ*, наибольшую активность проявляет фосфид Ni: степень дехлорирования достигает 71%, в продуктах реакции преобладает бензол (62%), что указывает на исчерпывающее гидродехлорирование субстрата табл. 1. Фосфид Со несколько уступает по активности (степень дехлорирования 67%); фосфиды Мо, W и Fe проявляют примерно одинаковую

невысокую активность (степень дехлорирования ~30%). Полученные закономерности для фосфидов Ni и Co согласуются с результатами работы [22], в которой на примере гидродехлорирования дихлорбензолов с различным положением заместителей показано, что катализатор Ni₂P/SiO₂ превосходит CoP/SiO₂ по селективности по бензолу и степени дехлорирования для всех субстратов. Для фосфида Мо, как показано в исследовании [23] на примере гидродехлорирования трихлорэтилена, характерна невысокая активность в этой реакции при умеренных температурах (до 450°C). Конверсия повыша-

Таблица 1. Исследование поведения *in situ* синтезированных катализаторов на основе фосфидов переходных металлов в процессе гидродехлорирования 1,4-дихлорбензола.

Условия: 340° С, H_2 6 МПа, 7 ч, 10%-ный раствор 1,4-дихлорбензола в μ -гексадекане, мольное соотношение Me/P = 1/20, мольное соотношение Me/1,4-дихлорбензол = 1/60

Катализатор	Содержание	C 0/		
	1,4-дихлорбензол	хлорбензол	бензол	Степень дехлорирования, %
WP	39	48	13	30
MoP	41	46	12	29
FeP	39	48	13	30
CoP	12	32	56	67
NiP	3	35	62	74

ется при температуре 450—550°C, однако при этой температуре возрастает скорость дезактивации катализатора вследствие закоксовывания.

Резкое снижение степени дехлорирования 1,4-дихлорбензола при использовании катализаторов на основе фосфидов никеля и вольфрама во втором и последующих циклах реакции (рис. 4) свидетельствует об образовании хлоридов металлов, в условиях реакции с трудом восстанавливающихся до металлов. Наличие в катализаторе фаз металла и его оксидов приводит к резкому снижению дехлорирующей способности катализатора при длительной работе, при этом в первые часы реакции катализатор может проявлять высокую способность к дехлорированию и работает как адсорбент, связывая атомы хлора, т.е. происходит необратимая адсорбция, отмеченная в [40] для гидродеазотирования акридина на фосфиде никеля; это утверждение оказалось

справедливым для фосфида вольфрама. Фосфид железа, широко исследованный в различных реакциях гидродеоксигенации [34] и гидрообессеривании, но не рассматривавшийся в качестве катализатора гидродехлорирования [36], показывает относительную стабильность при рециркуляции. Фосфид кобальта, наоборот, с каждым циклом становится активнее в данном процессе.

Гидродехлорирование—гидрообессеривание. Актуальность исследования параллельного протекания реакций гидродехлорирования и гидрообессеривания обусловлена содержанием сераорганических соединений в продуктах гидрокрекинга полимеров (в том числе хлорсодержащих) в смеси с нефтяными фракциями [13, 37]. Соответственно, цель гидрооблагораживания такого сырья — достижение максимально возможной степени обессеривания при исчерпывающем дехлорировании.

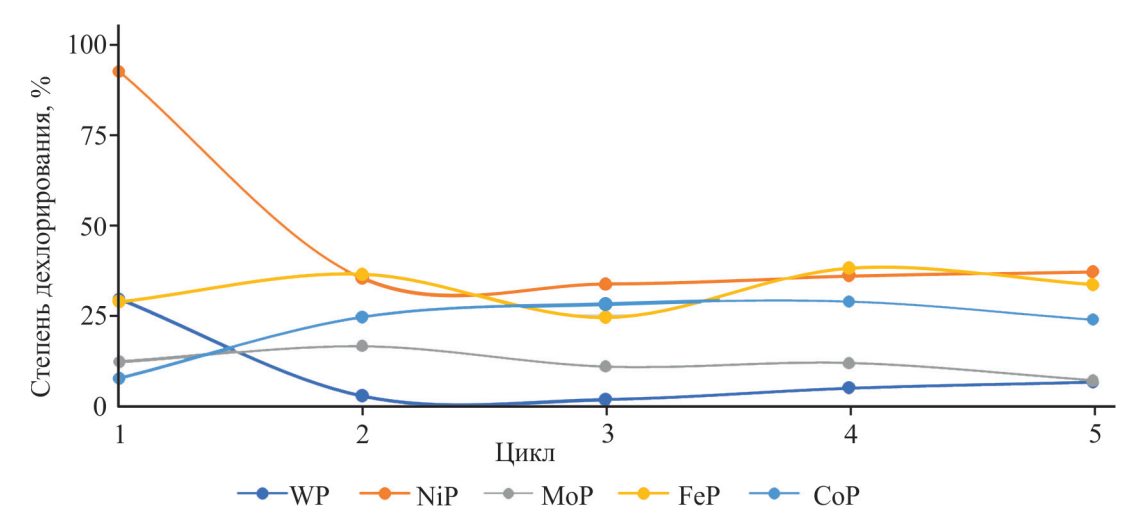


Рис. 4. Исследование возможности повторного использования фосфидов переходных металлов в процессе гидродехлорировании 1,4-дихлорбензола. Условия: 340° C, 6 МПа H_2 , 10%-ный раствор 1,4-дихлорбензола в μ -гексадекане, мольное соотношение Me/P = 1/20, мольное соотношение Me/1,4-дихлорбензол 1/60.

При изучении активности фосфидов, синтезируемых in situ, в реакции гидрообессеривания бензотиофена (табл. 2) было обнаружено, что фосфид Мо обеспечивает почти исчерпывающее обессеривание. селективность реакции по этилбензолу составляет 98%. Меньшую обессеривающую способность показывают фосфиды Ni, W и Fe, в то время как фосфид Со не проявляет каталитических свойств в этой реакции. Высокая каталитическая активность фосфида Мо связана с образованием фазы дисульфида Мо, в результате участия образующегося в реакции сероводорода в сульфидировании катализатора. Аналогично, в данных условиях образуется дисульфид W, однако в меньших количествах, поскольку сульфидирование W требует более высокой температуры, чем Мо [38]. Активность фосфидов в реакции гидрообессеривания возрастает в ряду: Co < W < Fe < Ni < Mo.

Далее нами были исследованы закономерности протекания параллельных реакций гидродехлорирования 1,4-дихлорбензола и гидрообессеривания бензотиофена (рис. 5). Максимальными конверсиями субстратов, достигаемыми и в гидродехлорировании, и в гидрообессеривании, отличается фосфид молибдена (степени дехлорирования и обессеривания составляют 49% и 74% соответственно), фосфиды никеля, железа и вольфрама показывают меньшую конверсию субстратов в обоих процессах, но при этом обращает на себя внимание неожиданно высокая степень обессеривания для фосфида железа. Фосфид кобальта не обладает какими-либо каталитическими свойствами в обеих реакциях. Можно представить следующий ряд фосфидов переходных металлов в совместном процессе гидродехлорирования и гидрообессеривания: $Co < W < Fe \approx Ni < Mo$.

При сравнении полученных данных с результатами гидродехлорирования 1,4-дихлорбензола в однокомпонентной системе (табл. 1), видно, что степень дехлорирования в присутствии фосфида никеля

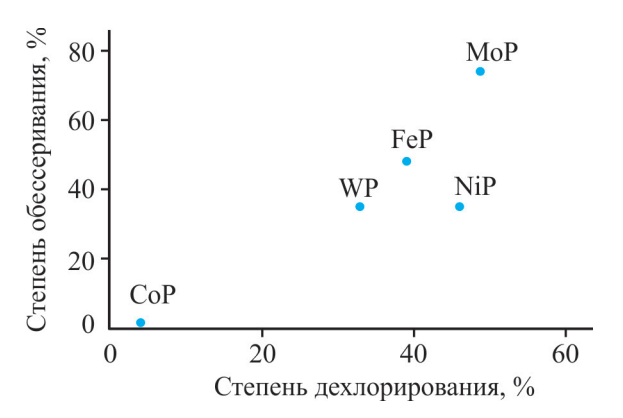


Рис. 5. Исследование поведения *in situ* синтезированных катализаторов на основе фосфидов переходных металлов при параллельном протекании процессов гидродехлорирования 1,4-дихлорбензола и гидрообессеривания бензотиофена.

Условия: 340°C, 6 МПа H_2 , 10%-ный раствор 1,4-дихлорбензола и бензотиофена в мольном соотношении 1:1 в μ -гексадекане, мольное соотношение Me/P = 1/20, мольное соотношение Me/1,4-дихлорбензол = 1/30 и Me/6ензотиофен = 1/30.

снижается в 2 раза. Фосфид Со в однокомпонентной системе показывает достаточную дехлорирующую способность, которая в присутствии бензотиофена снижается практически до нуля. Обращает на себя внимание повышение активности фосфида Мо в присутствии соединения серы — степень дехлорирования возрастает с 12 до 49%, что обусловлено формированием фазы дисульфида молибдена, каталитически активной в процессе гидрообессеривания. Степень дехлорирования в присутствии фосфида вольфрама практически не изменяется при добавлении в систему бензотиофена, что можно связать с недостаточной для сульфидирования вольфрама температурой (340°C) [38], поэтому появление в реакционной среде H₂S практически не влечет за собой изменение фазового состава катализатора.

Таблица 2. Исследование поведения *in situ* синтезированных катализаторов на основе фосфидов переходных металлов в процессе гидрообессеривания бензотиофена.

Условия: 340° C, H_2 6 МПа, 7 ч, 10%-ный раствор бензотиофена в *н*-гексадекане, мольное соотношение Me/P = 1/20, мольное соотношение Me/Gensorrow

V ото туротот	C	Статам, оборозирания 0/			
Катализатор	бензотиофен 2,3-дигидробензотис		этилбензол	Степень обессеривания,%	
WP	48	18	34	34	
NiP	14	18	68	68	
MoP	2	0	98	98	
FeP	42	19	39	39	
CoP	98	1	1	1	

Отметим также повышение степени дехлорирования 1,4-дихлорбензола в присутствии фосфида железа при добавлении в реакционную среду бензотиофена.

Сопоставление данных о степенях обессеривания в присутствии фосфидов переходных металлов в двухкомпонентной системе и в однокомпонентной (табл. 2) указывает на снижение степени обессеривания бензотиофена при использовании фосфидов молибдена и никеля. Степень обессеривания бензотиофена в присутствии фосфидов W и Fe не изменяется при введении 1,4-дихлорбензола; фосфид Со по-прежнему остается неактивным. К сожалению, отсутствие литературных данных о параллельном протекании реакций гидродехлорирования и гидрообессеривания не позволяет однозначно теоретически обосновать причины снижения или сохранения способности удалять атомы серы катализаторов при введении хлорсодержащих соединений в сырье. Одна из причин потери каталитических свойств фосфидов Ni и Мо связана с образованием хлоридов металлов при контактировании с HCl с их последующим восстановлением и с потерей дисперсности, что, в целом, характерно для катализаторов гидродехлорирования [19]. Вследствие этого ухудшаются обессеривающая и дехлорирующая способности катализаторов. Вторая возможная причина связана с более прочной адсорбцией хлорорганических соединений, чем бензотиофена, на активных центрах катализатора.

В целом, для процессов гидродехлорирования и гидрообессеривания наиболее желательными являются фосфиды Мо, Ni, Fe. Высокая степень обессеривания в присутствии катализатора FeP/SiO₂ в процессе гидрообессеривания дибензотиофена (конверсия выше 80% при 340°C) отмечена в [39], которую авторы связывают ввиду образования смешанной Fe–P–S фазы. В этой связи фосфид железа обращает на себя внимание ввиду невысокой стоимости и возможности его использования для предварительной подготовки сырья.

Гидродехлорирование—гидродеазотирование. В процессе гидрокрекинга полимерных отходов в смеси с нефтяными и угольными дистиллятами [7] продукт будет содержать азот- и хлорорганические соединения. Основное беспокойство вызывают азотистые основания — широко известные каталитические яды, присутствующие в газойлевых фракциях нефти и смоле пиролиза угля. Поэтому для нас представляет интерес исследования изменения степени дехлорирования 1,4-дихлорбензола при использовании рассматриваемых фосфидных катализаторов в присутствии хинолина. В условиях реакции хинолин не претерпевал превращений и деазотирование не происходило ввиду его высо-

кой концентрации в сырье. Введение хинолина в реакцию гидродехлорирования 1,4-дихлорбензола приводит к снижению дехлорирующей способности всех исследованных каталитических систем по сравнению с результатами, полученными в результате гидродехлорирования однокомпонентной смеси. Наиболее резко снижается степень дехлорирования 1,4-дихлорбензола в присутствии фосфидов никеля (с 92 до 10%) и кобальта (с 61 до 9%).

Первой причиной потери активности фосфидов переходных металлов при добавлении в реакционную среду хинолина является конкуренция адсорбции 1,4-дихлорбензола и хинолина [28, 29, 32]. Вторая причина потери активности катализатора связана с образованием хлористых солей азотистых оснований, формирующих отложения на поверхности катализатора [32]. Следует отметить, что фосфид железа оказался наиболее эффективным в реакции гидродехлорирования 1,4-дихлорбензола в присутствии хинолина (степень дехлорирования 14%) среди исследованных систем. Активность катализаторов падала в ряду FeP > WP > NiP > CoP > MoP.

Гидродехлорирование-гидродеоксигенация. При пиролизе и гидрокрекинге полимерных отходов в смеси с биомассой [41, 42] образуется жидкий продукт, содержащий значительное количество кислородорганических соединений, основным из которых является гваякол. Ввиду чего может представлять интерес изучение параллельных реакций гидродехлорирования и гидродеоксигенации в аспекте гидрооблагораживания получаемого жидкого продукта пиролиза подобных отходов. Прежде всего нами была исследована деоксигенирующая способность исследуемых катализаторов в процессе гидродеоксигенации гваякола (табл. 3). Степень деоксигенации гваякола в присутствии фосфидов переходных металлов растет в ряду: Co < W < Ni < Fe < Mo%; при этом при использовании в качестве катализатора фосфида кобальта в продуктах образуется только анизол, последующей деоксигенации и гидрирования до циклогексана не происходит.

При добавлении в реакционную среду 1,4-дихлорбензола (рис. 6) происходит резкое снижение степени деоксигенации гваякола в присутствии всех исследуемых фосфидов переходных металлов, за исключением фосфида железа — только он сохраняет деоксигенирующую спсобность. Степень дехлорирования 1,4-дихлорбензола по сравнению с однокомпонентной системой (табл. 1) существенно падает для фосфида кобальта и умеренно снижается для фосфидов никеля и вольфрама. В присутствии фосфида железа этот показатель практически не изменяется. Потеря активности в процессе гидродехлорирования 1,4-дихлорбензола обусловлена

Таблица 3. Исследование поведения *in situ* синтезированных катализаторов на основе фосфидов переходных металлов процессе гидродексигенации гваякола.

Условия: 340° C, H_2 6 МПа, 7 ч, 10% -ный раствор гваякола в <i>н</i> -гексадекане, мольное соотношение Me/P = $1/20$,
мольное соотношение Ме/гваякол = 1/60

Катализатор	Содержание, мас.%			Charant realisation of
	гваякол	анизол	циклогексан	Степень деоксигенации, %
WP	14	72	14	14
NiP	30	40	30	30
MoP	15	35	50	50
FeP	30	30	40	40
CoP	7	92	0	1

окислением поверхности катализаторов в присутствии кислородсодержащего субстрата, что ведет к снижению доли фосфидной фазы и повышению содержания каталитически инертных фосфатов.

Из полученных результатов следует, что исследованные фосфиды, за исключением железа, малопригодны для гидрооблагораживания смесей, содержащих хлорорганические соединения и продукты деструкции биомассы, такие как гваякол. Фосфид железа, как единственный эффективный катализатор в обеих реакциях, может рассматриваться как перспективный. В работе [34] продемонстрировано успешное применение фосфидов железа с различным соотношением Fe/P в процессе гидродеоксигенации фенола, причем основным продуктом реакции является циклогексан. Полученные данные и результаты гидродехлорирования 1,4-дихлорбензола в присутствии гваякола дают основание полагать, что фосфиды железа не следует однозначно рассматривать как малоактивные. Несмотря на то, что в реакциях гидродехлорирования и гидрообессеривания фосфиды никеля и молибдена значительно превосходят фосфиды железа по активности, последние могут рассматриваться как катализаторы защитного слоя в случае гидрооблагораживания «сложного» многокомпонентного сырья.

Значительный интерес представляет гидродеоксигенация фталатов и терефталевой кислоты, как основных продуктов пиролиза смесей полимерных отходов, содержащих фталатные пластификаторы. Было выявлено, что в условиях реакции терефталевая кислота не подвергается превращениям, все катализаторы оказались неактивны. При совместной гидропереработке терефталевой кислоты и 1,4-дихлорбензола наблюдается снижение активностепеней дехлорирования в присутствии фосфидов Ni и по сравнению с результатами, полученными в однокомпонентной смеси (табл. 1), что можно объяснить окислением фосфидов с образованием оксидов, быстро и необратимо адсорбирующих ато-

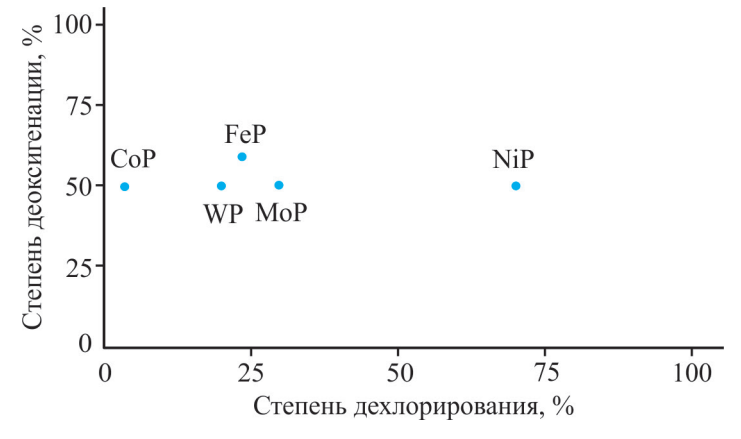


Рис. 6. Исследование поведения *in situ* синтезированных катализаторов на основе фосфидов переходных металлов при параллельном протекании процессов гидродехлорирования 1,4-дихлорбензола и гидродеоксигенации гваякола.

Условия: 340° С, 6 МПа H_2 , 10%-ный раствор 1,4-дихлорбензола и гваякола в мольном соотношении 1:1 в *н*-гексадекане, мольное соотношение Me/P = 1/20, мольное соотношение Me/F ваякол = 1/30 и = 1

мы хлора. Активность фосфидов W, Мо и Fe не уменьшается. Таким образом, эффективность катализаторов снижается в ряду Fe (56%) > W (48%) > Ni (42%) > Мо (36%) > Co (6%) в порядке убывания степени дехлорирования 1,4-дихлорбензола в двухкомпонентной смеси.

ВЫВОДЫ

Предложена методика синтеза *in situ* в присутствии хлорсодержащего соединения фосфидов Ni, Co, Mo, W, Fe при использовании красного фосфора в качестве фосфидирующего агента. Для фосфида никеля установлено присутствие фазы Ni₂P на поверхности катализатора. Фосфиды Co, W, Mo, Fe оказались рентгеноаморфными.

В процессе гидродехлорирования 1,4-дихлорбензола степень его дехлорирования в присутствии Ni_2P при температуре $340^{\circ}C$ и давлении 6 МПа H_2 составляет 67%. Фосфиды никеля сохраняют активность на протяжении пяти циклов реакции. Дехлорирующая спсобность фосфидов в процессе гидродехлорирования 1,4-дихлорбензола возрастает в ряду: $W \sim Mo \sim Fe < Co < Ni$.

Введение азотистого основания в сырье приводит к снижению активности всех фосфидов. Для системы с одновременным присутствием N- и Cl-содержащих соединений более активным катализатором является фосфид Fe (степень хлорирования 14%).

Обессеривающая способность рассматриваемых фосфидов в процессе гидрообессеривания бензотиофена возрастает в ряду: Co < W < Fe < Ni < Mo, а в процессе гидродехлорирование/гидрообессеривание — $Co < W < Fe \approx Ni < Mo$. Степень дехлорирования 1,4-дихлорбензола в присутствии фосфидов никеля и кобальта снижается при введении в сырье серосодержащего соединения. Наиболее эффективным и в процессе гидродехлорирования 1,4-дихлорбензола, и в процессе гидрообессеривания бензотиофена является фосфид молибдена (степень дехлорирования и обессеривания составляет 49% и 74% соответственно).

Отметим значительное снижение активности фосфидов при введении в хлорсодержащее сырье кислородсодержащих соединений, что связано с образованием каталитически инертных фосфатов. При совместной гидропереработке терефталевой кислоты и 1,4-дихлорбензола наблюдается снижение активности в гидродехлорировании фосфидов Ni и Со в сравнении с гидродехлорированием чистого 1,4-дихлорбензола, тогда как активность фосфидов W, Mo и Fe не уменьшается.

В целом, фосфиды переходных металлов могут использоваться при гидрооблагораживании про-

дуктов пиролиза полимерных отходов при условии оптимизации сырья с точки зрения ограничения содержания азот- и кислородсодержащих соединений.

БЛАГОДАРНОСТИ

Исследование выполнено за счет гранта Российского научного фонда № 24-29-00401 https://rscf.ru/project/24-29-00401/

КОНФЛИКТ ИНТЕРЕСОВ

Авторы заявляют об отсутствии конфликта интересов, требующего раскрытия в данной статье.

ДАННЫЕ ОБ АВТОРАХ

Джабаров Эдуард Геннадьевич, м.н.с. ИНХС РАН

ORCID: https://orcid.org/0000-0001-5490-8610

Петрухина Наталья Николаевна, к.х.н., с.н.с. ИНХС РАН

ORCID: https://orcid.org/0000-0002-6125-902X

Захарян Елена Михайловна, к.х.н., н.с. ИНХС РАН

ORCID: https://orcid.org/0000-0001-8850-2141

СПИСОК ЛИТЕРАТУРЫ

- 1. Global Plastics Outlook: Economic Drivers, Environmental Impacts and Policy Options. OECD Publishing, Paris, 2022.
 - https://doi.org/10.1787/de747aef-en
- 2. *Miliute-Plepiene J., Fråne A., Almasi A.M.* Overview of polyvinyl chloride (PVC) waste management practices in the Nordic countries // Clean. Eng. Technol. 2021. V. 4. ID 100246.
 - https://doi.org/10.1016/j.clet.2021.100246
- 3. *Khani L., Martin L., Pulaski L.* Cellular and physiological mechanisms of halogenated and organophosphorus flame retardant toxicity // Sci. Total Environ. 2023. V. 897. ID 165272.
 - http://dx.doi.org/10.1016/j.scitotenv.2023.165272
- 4. Drage D., Sharkey M., Al-Omran L.S., Stubbings W.A., Berresheim H., Coggins M., Rosa A.H., Harrad S. Halogenated flame retardants in Irish waste polymers: Concentrations, legislative compliance, and preliminary assessment of temporal trends // Environ. Pollut. 2022. V. 309. ID 119796.
 - https://doi.org/10.1016/j.envpol.2022.119796
- 5. Dai L., Zhou N., Lv Y., Cheng Y., Wang Y., Liu Y., Cobb K., Chen P., Lei H., Ruan R. Pyrolysis technology for plastic waste recycling: A state-of-the-art review // Prog. Energy Combust. Sci. 2022. V. 93. ID 101021. https://doi.org/10.1016/j.pecs.2022.101021

- Qureshi M.S., Oasma A., Pihkola H., Deviatkin I., Tenhunen A., Mannila J., Minkkinen H., Pohjakallio M., Laine-Ylijoki J. Pyrolysis of plastic waste: Opportunities and challenges // J. Anal. Appl. Pyrolysis. 2020. V. 152. ID 104804.
 - https://doi.org/10.1016/j.jaap.2020.104804
- 7. *Munir D., Irfan M.F., Usman M.R.* Hydrocracking of virgin and waste plastics: A detailed review // Renew. Sustain. Energy Rev. 2018. V. 90. P. 490–515. https://doi.org/10.1016/j.rser.2018.03.034
- 8. Yu H., Qu J., Liu Y., Yun H., Li X., Zhou C., Jin Y., Zhang C., Dai J., Bi X. Co-pyrolysis of biomass and polyvinyl chloride under microwave irradiation: Distribution of chlorine // Sci. Total Environ. 2021. V. 806. Pt. 4. ID 150903.
 - https://doi.org/10.1016/j.scitotenv.2021.150903
- 9. Shiraga Y., Uddin M.A., Muto A., Narazaki M., Sakata Y., Murata K. Boiling-Point Distributions and Dechlorination of Organic Chlorine Compounds in Oil Obtained from the Degradation of PVC Mixed Plastic // Energy Fuels. 1999. V. 13. N 2. P. 428–432. https://doi.org/10.102/ef9801266
- Uddin M.A., Sakata Y., Shiraga Y., Muto A., Murata K. Dechlorination of Chlorine Compounds in Poly(vinyl chloride) Mixed Plastics Derived Oil by Solid Sorbents // Ind. Eng. Chem. Res. 1999. V. 38. N 4. P. 1406–1410. https://doi.org/10.102/ie980445k
- 11. Bhaskar T., Uddin M.D., Murai K., Kaneko J., Hamano K., Kusaba T., Muto A., Sakata Y. Comparison of thermal degradation products from real municipal waste plastic and model mixed plastics // J. Anal. Appl. Pyrolysis. 2003. V. 70. N 2. P. 579–587. https://doi/org/10.1016/S0165-2370(03)00027-5
- 12. Brebu M., Bhaskar T., Murai K., Muto A., Sakata Y., Uddin M.A. The effect of PVC and/or PET on thermal degradation of polymer mixtures containing brominated ABS // Fuel. 2004. V. 83. N 14–15. P. 2021–2028. https://doi.org/10.1016/j.fuel.2004.04.011
- 13. *Kohli K., Prajapati R., Maity S.K., Sharma B.K.* Hydrocracking of heavy crude/residues with waste plastic // J. Anal. Appl. Pyrolysis. 2019. V. 140. P. 179–187. https://doi.org/10.1016/j.jaap.2019.03.013
- 14. *Krzmarzick M.J.*, *Novak P.J.* Removal of chlorinated organic compounds during wastewater treatment: achievements and limits // Appl. Microbiol. Biotechnol. 2014. V. 98. P. 6233–6242. https://doi.org/10.1007/s00253-014-5800-x
- Kim D.I., Allen D.T. Catalytic hydroprocessing of chlorinated olefins // Ind. Eng. Chem. Res. 1997. V. 36. N 8. P. 3019–3026.
- 16. *Díaz E., Faba L., Ordóñez S.* Effect of carbonaceous supports on the Pd-catalyzed aqueous-phase trichloroethylene hydrodechlorination // Appl. Catal. B: Environ. 2011. V. 104. N 3–4. P. 415–417. https://doi.org/10.1016/j.apcatb.2011.03.031
- 17. *Benitez J.L.*, *del Angel G*. Effect of the functional group on the hydrodechlorination of chlorinated aromatic compounds over Pd, Ru, and Rh supported on carbon //

- Ind. Eng. Chem. Res. 2011. V. 50. N 5. P. 2678–2682. https://dx.doi.org/10.1021/ie100702s
- 18. Wu W., Xu J., Ohnishi R. Complete hydrodechlorination of chlorobenzene and its derivatives over supported nickel catalysts under liquid phase conditions // Appl. Catal. B: Environ. 2005. V. 60. N 1–2. P. 129–137. https://doi.org/10.1016/j.apcatb.2005.03.003
- 19. Janiak T., Okal J. Effectiveness and stability of commercial Pd/C catalysts in the hydrodechlorination of meta-substituted chlorobenzenes // Appl. Catal. B: Environ. 2009. V. 92. N 3–4. P. 384–392. https://doi.org/10.1016/j.apcatb.2009.08.018
- 20. *Murena F., Gioia F.* Catalytic hydrodechlorination of decachlorobiphenyl // Appl. Catal. B: Environ. 2002. V. 38. N 1. P. 39–50. https://doi.org/10.1016/S0926-3373(02)00025-5
- 21. *Gryglewicz G.*, *Stolarski M.*, *Gryglewicz S.*, *Klijanienko A.*, *Piechocki W.*, *Hoste S.*, *Van Driessche I.*, *Carleer R.*, *Yperman J.* Hydrodechlorination of dichlorobiphenyls over Ni–Mo/Al₂O₃ catalysts prepared by spray-drying method // Chemosphere. 2006. V. 62. N 1. P. 135–141. https://doi.org/10.1016/j.chemosphere.2005.03.097
- 22. *Cecilia J.A., Infantes-Molina A., Rodríguez-Castellón E.* Hydrodechlorination of polychlorinated molecules using transition metal phosphide catalysts // J. Hazard. Mater. 2915. V. 296. P. 112–119. https://doi.org/10.1016/j.jhazmat.2015.04.021
- 23. *Guo Q., Ren L.* Hydrodechlorination of trichloroethylene over MoP/γ-Al₂O₃ catalyst with high surface area // Catal. Today. 2016. V. 264. P. 158–162. https://doi.org/10.1016/j.cattod.2015.09.019
- 24. Cecilia J.A., Jiménez-Morales I., Infantes-Molina A., Rodríguez-Castellón E., Jiménez-López A. Influence of the silica support on the activity of Ni and Ni₂P based catalysts in the hydrodechlorination of chlorobenzene. Study of factors governing catalyst deactivation // J. Mol. Catal. A: Chem. 2013. V. 368–369. P. 78–87. http://dx.doi.org/10.1016/j.molcata.2012.11.017
- 25. Chen J., Chen Y., Yang Q., Li K., Yao C. An approach to preparing highly dispersed Ni₂P/SiO₂ catalyst // Catal. Commun. 2010. V. 11. N 6. P. 571–575. https://doi.org/10.1016/j.catcom.2009.12.022
- 26. Yang Q., Dai J., Li K., Chen J. Effect of H₂S pretreatment on structure and activity of Ni₂P/SiO₂ catalyst for hydrodechlorination of chlorobenzene // Chin. J. Catal. 2013. V. 34. N 6. P. 1201–1207. https://doi.org/10.1016/S1872-2067(12)60595-6
- 27. Duan X., Teng Y., Wang A., Kogan V.M., Li X., Wang Y. Role of sulfur in hydrotreating catalysis over nickel phosphide // J. Catal. 2009. V. 261. N 2. P. 232–240. https://doi.org/10.1016/j.jcat.2008.12.003
- Xia L., Xia Z., Tang W., Wang H., Fang M. Hydrogenation of model compounds catalyzed by MCM-41-supported nickel phosphide // Adv. Mat. Res. 2014. V. 864–867. P. 366–372.
 http://dx.doi.org/10.4028/www.scientific.net/AMR 864
 - http://dx.doi.org/10.4028/www.scientific.net/AMR.864-867.366

- 29. Korányi T.I., Vít Z., Poduval D.G., Ryoo R., Kim H.S., Hensen E.J.M. SBA-15-supported nickel phosphide hydrotreating catalysts // J. Catal. 2008. V. 253. N 1. P. 119-131.
 - https://doi.org/10.1016/j.jcat.2007.10.012
- 30. Oyama S.T., Wang X., Requejo F.G., Sato T., Yoshimura Y. Hydrodesulfurization of petroleum feedstocks with a new type of nonsulfide hydrotreating catalyst // J. Catal. 2002. V. 209. N 1. P. 1-5. https://doi.org/10.1006/jcat.2002.3613
- 31. Murena F., Gioia F. Catalytic hydroprocessing of chlorobenzene-pyridine mixtures // J. Hazard. Mater. 2000. V. 75. N 1. P. 49-56. https://doi.org/10.1016/s0304-3894(00)00158-8
- 32. Gioia F., Murena F. Simultaneous catalytic hydroprocessing of chlorine-, nitrogen-, and sulphurcontaining aromatic compounds // J. Hazard. Mater. 1998. V. 57. N 1-3. P. 177-192. https://doi.org/10.1016/S0304-3894(97)00082-4
- 33. Cecilia J.A., Infantes-Molina A., Rodríguez-Castellón E., Jiménez-López A. Gas phase catalytic hydrodechlorination of chlorobenzene over cobalt phosphide catalysts with different P contents // J. Hazard. Mater. 2013. V. 260. P. 167-175. https://doi.org/10.1016/j.jhazmat.2013.05.013
- 34. Golubeva M., Mukhtarova M., Sadovnikov A., Maximov A. PET waste recycling into BTX fraction using in situ obtained nickel phosphide // Polymers. 2023. V. 15. N 10. ID 2248. https://doi.org/10.3390/polym15102248
- 35. Rodríguez-Aguado E., Infantes-Molina A., Ballesteros-Plata D., Marco J.F., Moretti E., Finocchio E., Cecilia J.A., Rodríguez-Castellón E. Iron phosphides presenting different stoichiometry as nanocatalysts in the HDO of phenol // Catal. Today. 2020. V. 349. P. 117-127. https://doi.org/10.1016/j.cattod.2018.05.023
- 36. Huang X., Dong Q., Huang H., Yue L., Zhu Z., Da J. Facile synthesis of iron phosphide Fe₂P nanoparticle and its catalytic performance in thiophene hydrodesulfurization // J. Nanopart. Res. 2014. V. 16. ID 2785. https://doi.org/10.1007/s11051-014-2785-4

- 37. Дандаев А.У., Висалиев М.Я., Кубрин Н.А., Гюльмалиев А.М., Кадиев Х.М. Изучение влияния состава смеси гудрона с резиной на результаты гидроконверсии // Наногетерогенный катализ. 2023. Т. 8. № 1. C. 56-65 [Dandaev A.U., Visaliev M.Ya., Kubrin N.A., Gyulmaliev A.M., Kadiev Kh.M. Influence of the composition of the petroleum Tar-Tire rubber mixture on the hydroconversion results // Petrol. Chemistry. 2023. V. 63. N 6. P. 683-692. https://doi.org/10.1134/s0965544123040084].
- 38. Infantes-Molina A., Romero-Pérez A., Eliche-Quesada D., Mérida-Robles J., Jiménez-López A., Rodríguez-Castellón E. Transition metal sulfide catalysts for petroleum upgrading — Hydrodesulfurization reactions. In: Hydrogenation, I. Karame, ed., 2012. https://doi.org/10.5772/45629
- 39. Song L., Zhang S., Ma Q. Synthesis of an iron phosphide catalyst based on sulfides and hydrodesulfurization property // Chem. Eng. J. 2015. V. 281. P. 281-285. http://dx.doi.org/10.1016/j.cej.2015.06.069
- 40. Shamanaev I.V., Suvorova A.O., Gerasimov E.Yu., Pakharukova P.V., Panafidin M.A., Yakovlev I.V., Bukhtiyarova G.A. SRGO hydrotreating over Niphosphide catalysts on granulated Al₂O₃ // Catal. Today. 2021. V. 378. P. 24-32.
 - https://doi.org/10.1016/j.cattod.2021.04.001
- 41. Nawaz A., Razzak S.A. Co-pyrolysis of biomass and different plastic waste to reduce hazardous waste and subsequent production of energy products: A review on advancement, synergies, and future prospects // Renew. Energy. 2024. V. 224. ID 120103. https://doi.org/10.1016/j.renene.2024.120103
- 42. Seah C.C., Tan C.H., Arifin N.A., Hafriz R.S.R.M., Salmiaton A., Nomanbhay S., Shamsuddin A.H. Copyrolysis of biomass and plastic: Circularity of wastes and comprehensive review of synergistic mechanism // Results Eng. 2023. V. 17. ID 100989. https://doi.org/10.1016/j.rineng.2023.100989